

双線形スカラー凝縮による 電弱スケールとダークマタースケール の生成

金沢大学自然科学研究科D3
山田雅俊

共同研究者：久保治輔（金沢大学）

- arXiv:1505.05971
- PTEP 2015 093B01 (arXiv:1506.06460)

2012年 7月4日

In summary

We have observed a new boson with a mass of

$125.3 \pm 0.6 \text{ GeV}$

at

4.9σ significance !

物質粒子 matter (fermions)

ゲージ粒子 gauge bosons

クォーク
quarks

レプトン
leptons

I

II

III



up



charm



top



down



strange



bottom



electron



muon



tau



electron
neutrino



muon
neutrino



tau
neutrino

電磁気力
electromagnetic

強い力
strong

弱い力
weak



photon



gluon



Z boson

W⁺ boson

W⁻ boson

ヒッグス粒子 Higgs bosons



Higgs boson

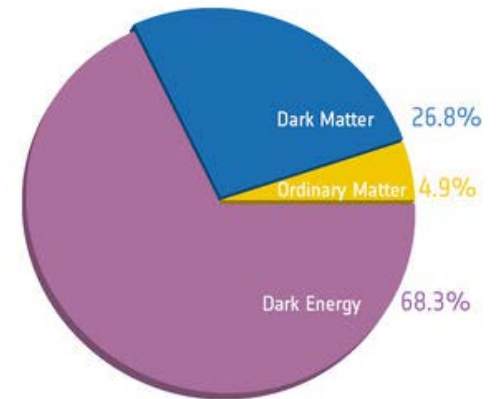
標準模型にはまだまだ 不満がいっぱい

- ニュートリノの質量
- ダークマターの候補
- バリオン数生成
- 電弱スケール Λ_{EW} の起源
- 階層性問題
- 電荷の量子化
- 量子重力

• • •

我々のターゲット

- ニュートリノの質量
- ダークマターの候補
- バリオン数生成
- 電弱スケール Λ_{EW} の起源
- 階層性問題
- 電荷の量子化
- 量子重力



$$V = \alpha\phi^2 + \beta\phi^4$$

$$\alpha < 0$$

etc...

階層性問題

$$m_R^2 = m_0^2 + (\lambda + \dots) \frac{\Lambda^2}{16\pi^2}$$

- $\Lambda_{EW} \ll \Lambda_{pl}$ 砂漠？
- $(100 \text{ GeV})^2 = (10^{18})^2 \text{ GeV} - (10^{18})^2 \text{ GeV}$
- ゲージ場やフェルミオンには問題はない
 - ゲージ対称性とカイラル対称性
- スカラー場の質量項は一般に禁止されない
- 裸の質量が禁止できますか？

古典的スケール不変性
による拡張を考えます

目次

1. 模型について
2. ダークマターの候補がある
3. 電弱対称性の強い1次相転移が実現できる（有限温度）

強い相互作用をもつHidden sector

- $SU(N_c)$ HQCD ゲージ理論 $SU(N_c) \times U(N_f)$ 不変

$$\begin{aligned}\mathcal{L}_{\text{HQCD}} = & -\frac{1}{2}F_{\mu\nu}F^{\mu\nu} + ([D_\mu S_i]^\dagger D^\mu S_i) \\ & -\hat{\lambda}_S(S_i^\dagger S_i)(S_j^\dagger S_j) - \hat{\lambda}'_S(S_i^\dagger S_j)(S_j^\dagger S_i) \\ & +\hat{\lambda}_{HS}(S_i^\dagger S_i)H^\dagger H\end{aligned}$$

- スカラー場

$$S_i^a \begin{array}{l} \xrightarrow{\text{red}} \text{Hidden colorの足 } a = 1, \dots, N_c \\ \xrightarrow{\text{blue}} \text{flavorの足 } i = 1, \dots, N_f \end{array}$$

対称性の破れのメカニズム

$\mathcal{L}_{\text{SM}} | m_H \rightarrow 0$

$$-\lambda_{HS}(S^\dagger S)H^\dagger H$$

$\mathcal{L}_{\text{HQCD}}$

Hidden sectorの強い相互作用で $\langle S^\dagger S \rangle \neq 0$

スケールの生成： Λ_{HQCD}

Higgsの質量項が生成される： $-\lambda_{HS}\langle S^\dagger S \rangle$

電弱スケールの生成： Λ_{EW}

強い相互作用の解析は難しい

- 解析的な取扱いは大変
- QCDの例に倣って有効モデルによる解析
 - QCDの $D\chi$ SBを記述する有効モデル：NJLモデル
- (自発的)スケール対称性の破れを記述するモデルの構築

有効模型の構築の心得

- 元の $\mathcal{L}_{\text{HQCD}}$ が持つ対称性は維持
 - スケール不変は量子効果で破れるがその効果はlog
- ゲージ場の効果はeffective vertexの中に入っているとす

$$\begin{aligned}\mathcal{L}_{\text{eff}} = & ([\partial_\mu S_i]^\dagger \partial^\mu S_i) + \lambda_{HS} (S_i^\dagger S_i) H^\dagger H \\ & - \lambda_S (S_i^\dagger S_i) (S_j^\dagger S_j) - \lambda'_S (S_i^\dagger S_j) (S_j^\dagger S_i)\end{aligned}$$

QCDのカイラル相転移との類似

$\mathcal{L}_{\text{HQCD}}$ Scale invariant

\mathcal{L}_{QCD} Chiral invariant

低エネルギー有効模型

$$V_{\text{eff}} = \lambda_S (S_i^\dagger S_i) (S_j^\dagger S_j) \\ + \lambda'_S (S_i^\dagger S_j) (S_j^\dagger S_i) \\ - \lambda_{HS} (H^\dagger H) (S^\dagger S)$$

$$V_{\text{eff}} = G [(\bar{\psi}\psi)^2 + (\bar{\psi}i\gamma^5\tau^\alpha\psi)^2]$$

Order parameter と scale

$$\langle S^\dagger S \rangle \neq 0$$

$$\Lambda_{\text{HQCD}}$$

$$\langle \bar{\psi}\psi \rangle \neq 0$$

$$\Lambda_{\text{QCD}}$$

メソン

$$\sigma$$

$$\phi^\alpha$$

$$\sigma$$

$$\pi^\alpha$$

平均場近似で計算

- 平均場 $\langle \Omega | (S_i^\dagger S_j) | \Omega \rangle = f_{ij}$
- 作用を S の2次の項 $S_i (-\partial^2 \delta^{ij} + \underline{M_S^2}{}^{ij}) S_j$ で近似
構成子スカラー質量
- 経路積分 $\int DS$ を実行
- 有効ポテンシャルを得る

$$V_{\text{MFA}}(\langle S_i \rangle, \langle h \rangle, f_{ij})$$

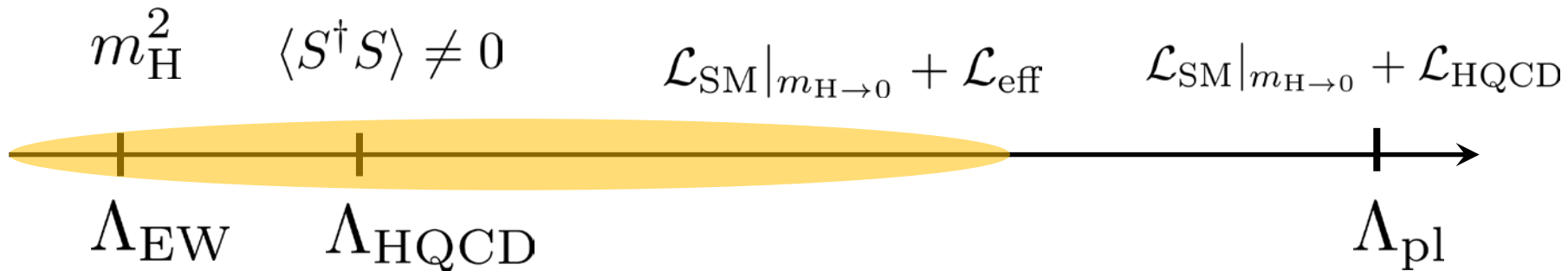
$$\langle h \rangle = 246 \text{ GeV}$$

$$\langle S_i \rangle = 0$$

ポテンシャルの最小値探索を行って真空を決定する

まとめると . . .

- スケール不変性の自発的破れを記述する有効模型を構成



- 有効模型を平均場近似の下で解析

目次

1. 模型について

2. ダークマターの候補がある

3. 電弱対称性の強い1次相転移
が実現できる（有限温度）

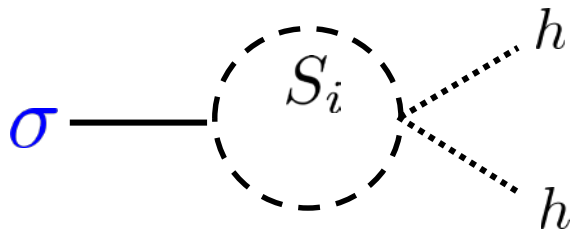
ダークマターの候補は ϕ^α

- 真空とその周りでの励起場

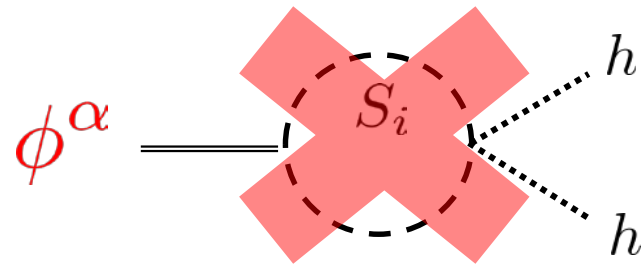
$$\langle \Omega | (S_i^\dagger S_j) | \Omega \rangle = f_0 \delta_{ij} + \delta_{ij} \sigma + t_{ji}^\alpha \phi^\alpha$$

- 相互作用項 (S を積分する前)

$$\mathcal{L}_{\text{MFA}} \supset \sigma (S_i^\dagger S_i), \quad S_i^\dagger t_{ij}^\alpha \phi^\alpha S_i$$



崩壊



Flavor 対称性で禁止

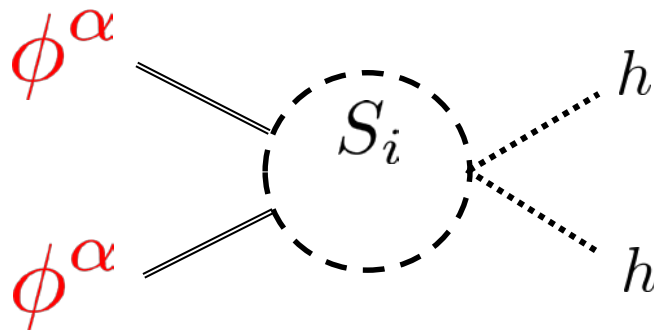
ダークマターの候補は ϕ^α

- 真空とその周りでの励起場

$$\langle \Omega | (S_i^\dagger S_j) | \Omega \rangle = f_0 \delta_{ij} + \delta_{ij} \sigma + t_{ji}^\alpha \phi^\alpha$$

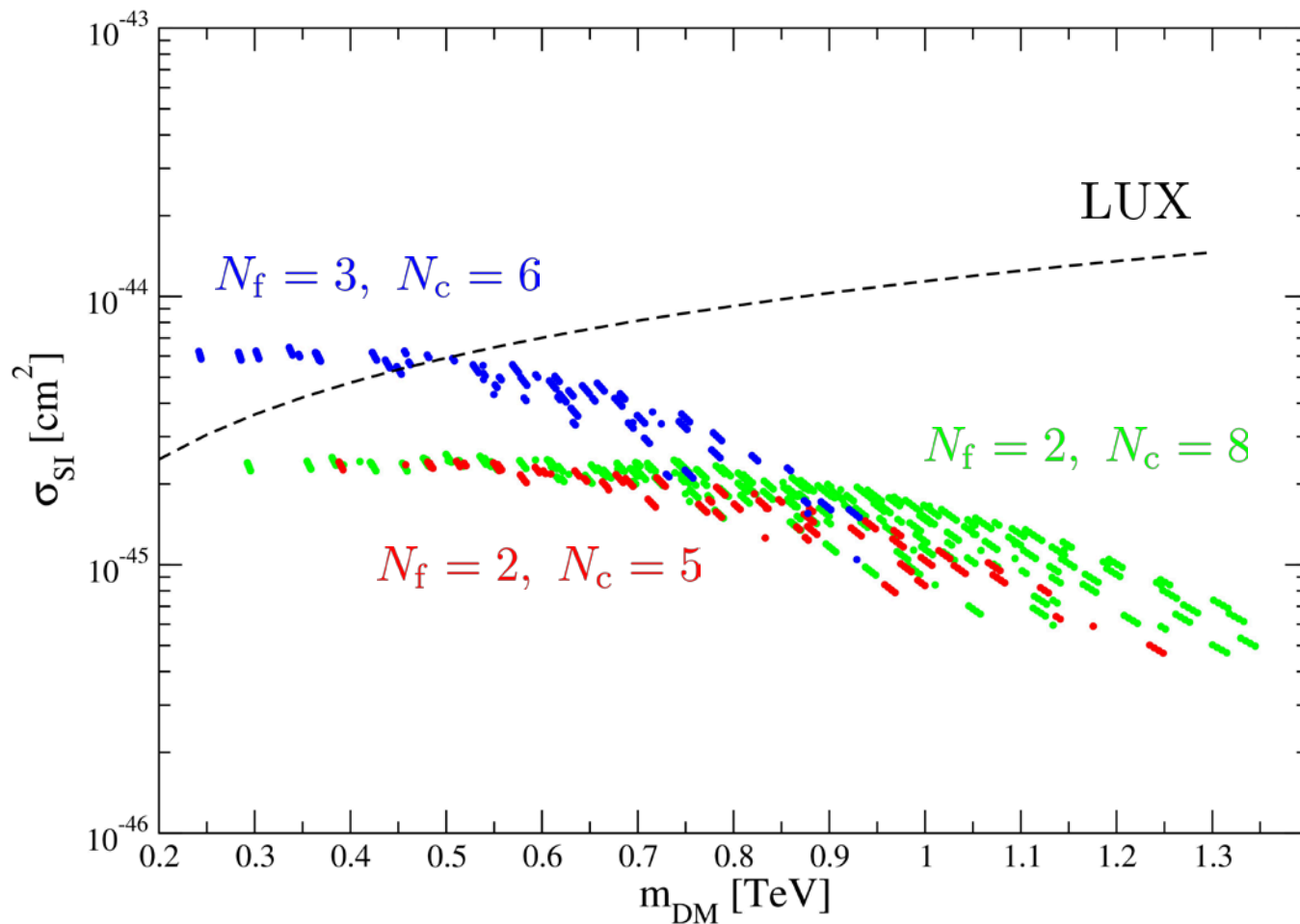
- 相互作用項 (S を積分する前)

$$\mathcal{L}_{\text{MFA}} \supset \sigma (S_i^\dagger S_i), \quad S_i^\dagger t_{ij}^\alpha \phi^\alpha S_i$$



σ_{SI} VS. m_{DM}

$$\langle h \rangle = 246 \text{ GeV}, m_{\text{H}} = 126 \text{ GeV}, \Omega \hat{h}^2 \sim 0.13$$



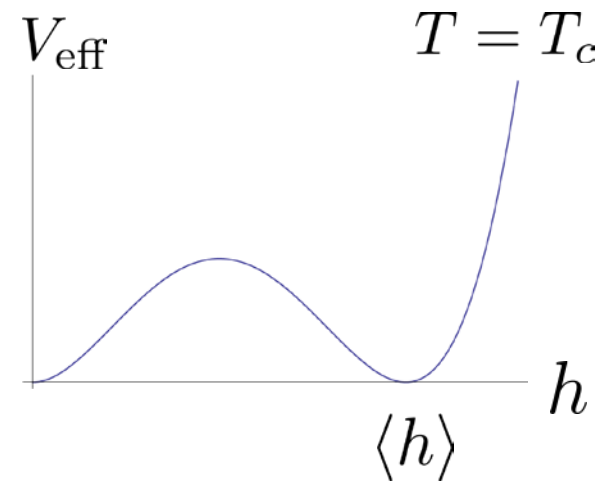
目次

1. 模型について
2. ダークマターの候補がある
3. 電弱対称性の強い1次相転移が実現できる（有限温度）

電弱バリオン数生成のために

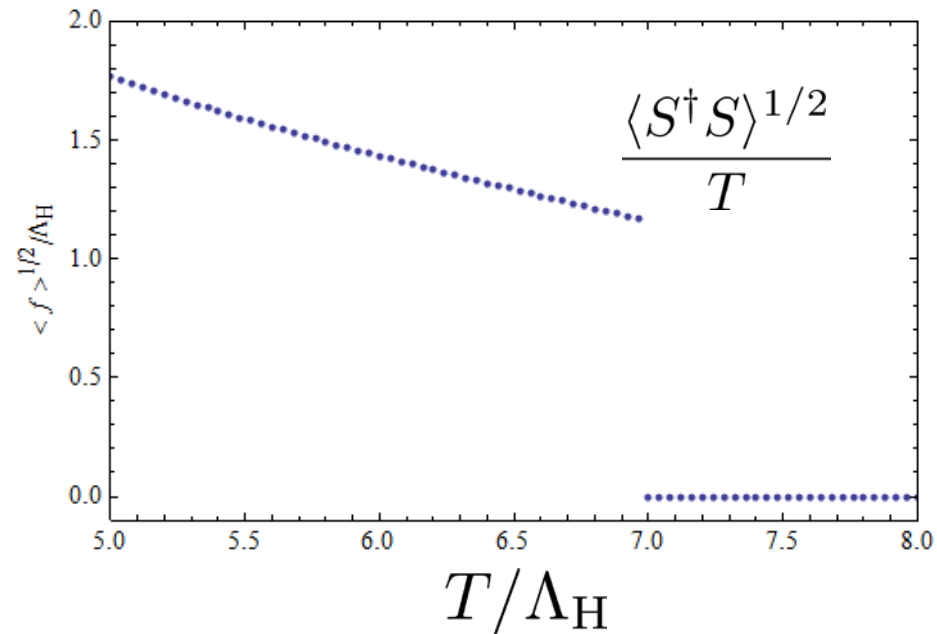
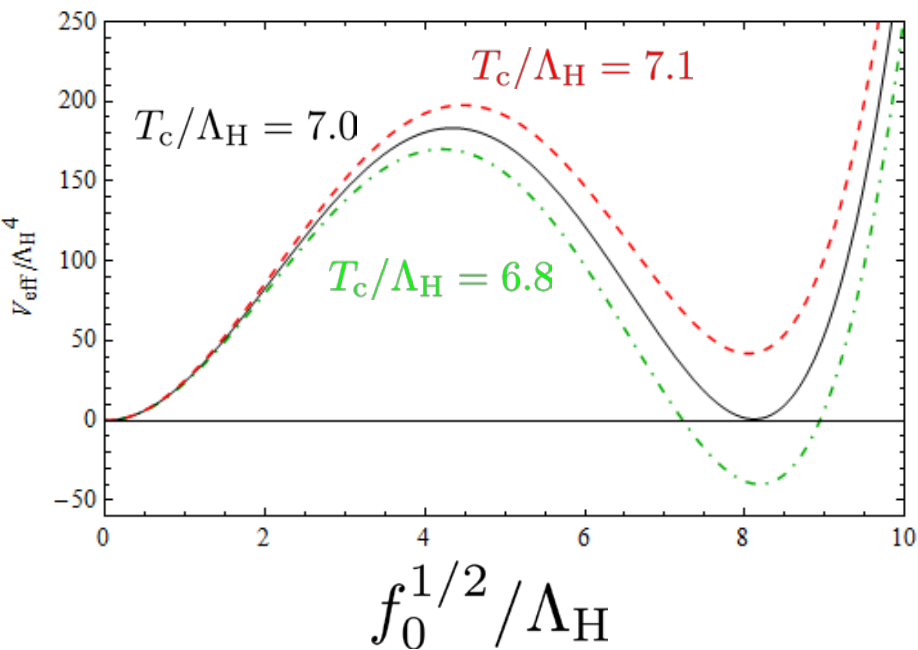
- サハロフの三条件の1つは熱平衡からの離脱

$$\frac{\langle h \rangle}{T_c} \geq 1$$



強い電弱 1 次相転移が要求される
標準模型だけでは実現が難しい

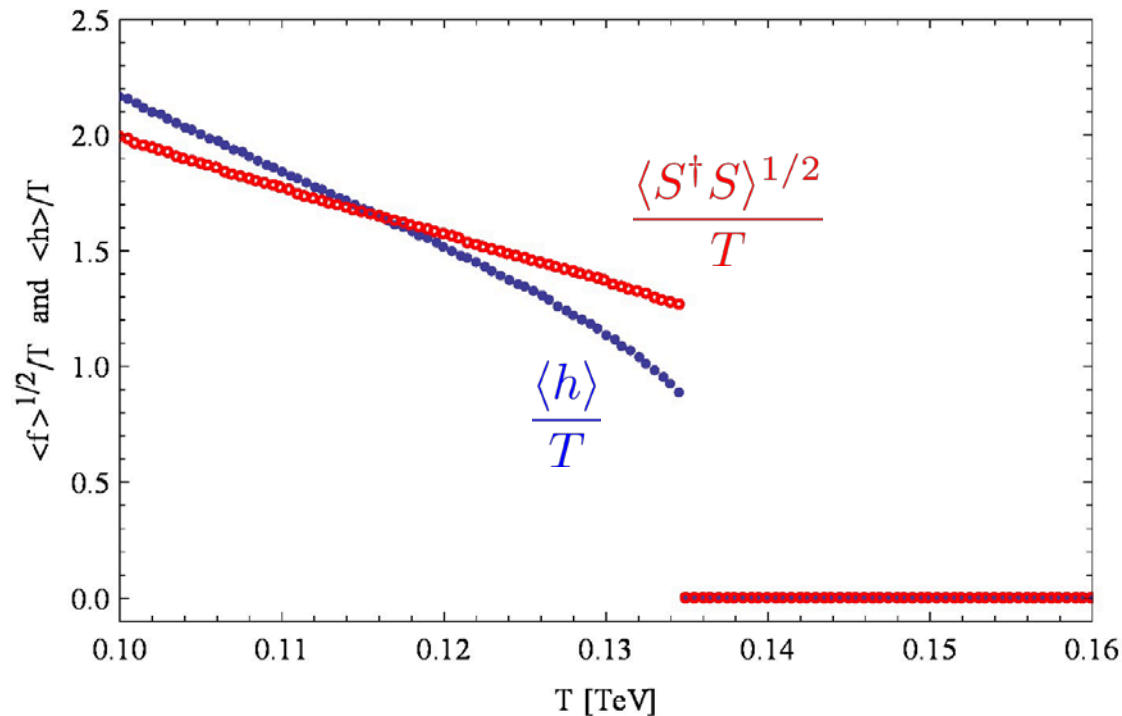
Hidden sector(は強い) 1次相転移



$$\frac{\langle S^\dagger S \rangle^{1/2}}{T_c} \geq 1$$

ダークマターがないとき $N_f = 1$ 強い電弱 1 次相転移

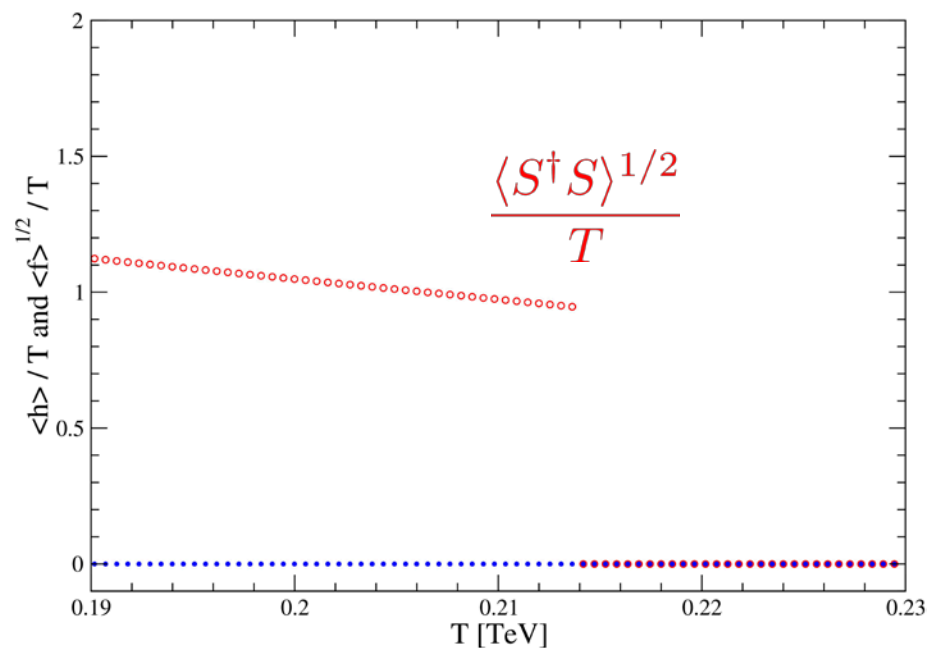
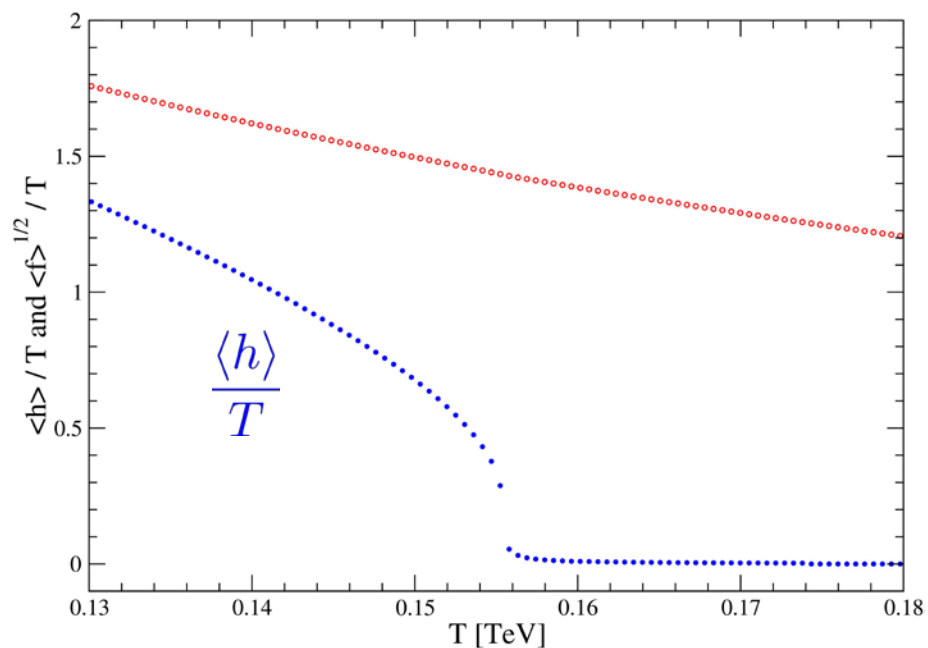
$$N_c = 6$$



電弱相転移とスケール相転移が同時に起っている

ダークマターがあるとき $N_f = 2$ 弱い電弱 1 次相転移

$$N_c = 6$$



両者の違いは λ_{HS} から来る

$$-\lambda_{HS}(S^\dagger S)H^\dagger H$$

- λ_{HS} が大きいと $(\Omega \hat{h}^2)_{\text{DM}} \approx 0.13$ を満たせない
- λ_{HS} が小さいと Hidden sector の強い相転移が伝わりにくい
- 今の近似の範囲での話
- 両立が完全に否定されたわけではない！

まとめ

- スケール不変性による標準模型の拡張

- 強い相互作用をするHidden sector

- $\Lambda_{\text{HQCD}} \rightarrow \Lambda_{\text{EW}}$

- $\langle S^\dagger S \rangle \rightarrow m_H$

Scalegenesis

- ダークマターの候補がある

- 強い電弱 1 次相転移が起こる

- より精密な解析が必要 ... lattice simulation

- Hidden sectorどこまで有効？ ... UV complete？



APPENDIX

平均場近似

Bogoliubov-Valatin vacuum $|\Omega\rangle$

$$\langle\Omega|(S_i^\dagger S_j)|\Omega\rangle = f_0\delta_{ij} + Z_\sigma^{1/2}\delta_{ij}\sigma + Z_\phi^{1/2}t_{ji}^\alpha\phi^\alpha$$

$$\langle S_i S_j \rangle = \left\langle \sum_{a=1}^{N_c} S_i^a S_j^a \right\rangle$$

Wick contractions

$$\langle\Omega| : \mathcal{O} : |\Omega\rangle = 0$$

$$(S_i^\dagger S_j) =: (S_i^\dagger S_j) : + f_{ij}$$

$$(S_i^\dagger S_j)(S_j S_i) =: (S_i^\dagger S_j)(S_j^\dagger S_i) : + 2f_{ij}(S_j^\dagger S_i) - |f_{ij}|^2$$

平均場近似

Lagrangian $\mathcal{L}_{\text{eff}} = \mathcal{L}_{\text{MFA}} + \mathcal{L}_I \quad \langle \Omega | \mathcal{L}_I | \Omega \rangle = 0$

$$\begin{aligned} \mathcal{L}_{\text{MFA}} = & (\partial^\mu S^\dagger \partial_\mu S) - M^2 (S_i^\dagger S_j) \\ & + N_f (N_f \lambda_S + \lambda'_S) Z_\sigma \sigma^2 + \frac{\lambda'_S}{2} Z_\phi \phi^\alpha \phi^\alpha \\ & - 2(N_f \lambda_S + \lambda'_S) Z_\sigma^{1/2} \sigma (S_i^\dagger S_i) - 2\lambda'_S Z_\phi^{1/2} (S_i^\dagger t_{ij}^\alpha \phi^\alpha S_j) \\ & + \lambda_{HS} (S_i^\dagger S_i) H^\dagger H - \lambda_H (H^\dagger H)^2 \end{aligned}$$

Constituent scalar mass

$$M^2 = 2(N_f \lambda_S + \lambda'_S) f - \lambda_{HS} H^\dagger H$$

有効ポテンシャル

$$V_{\text{MFA}} = M^2(S_i^\dagger S_i) + \lambda_H(H^\dagger H)^2 - N_f(N_f\lambda_S + \lambda'_S)f^2 + \frac{N_c N_f}{32\pi^2} M^4 \log \frac{M^2}{\Lambda_H^2}$$

$$H = \begin{pmatrix} \chi^+ \\ \langle h \rangle + h + i\chi^0 \end{pmatrix}$$

对消滅

$$\kappa_s(t) \delta_{\alpha\beta} =$$

ϕ^α ϕ^β S_i h h +cross

+ ϕ^α ϕ^β S_i h h

+ ϕ^α ϕ^β S_i h h +crosses

平均対消滅断面積

$$\langle v\sigma \rangle = \frac{1}{32\pi m_{\text{DM}}^3} \sum_{I=W,Z,t,h} (m_{\text{DM}}^2 - m_I^2)^{1/2} a_I + \mathcal{O}(v^2)$$

$$a_{W(Z)} = 4(2)[\text{Re}(\kappa_s)]^2 \Delta_h^2 m_{W(Z)}^4 \left(3 + 4 \frac{m_{\text{DM}}^4}{m_{W(Z)}^4} - 4 \frac{m_{\text{DM}}^2}{m_{W(Z)}^2} \right)$$

$$a_t = 24[\text{Re}(\kappa_s)]^2 \Delta_h^2 m_t^2 (m_{\text{DM}}^2 - m_t^2)$$

$$a_h = [\text{Re}(\kappa_s)]^2 \left(1 + 24\lambda_H \Delta_h \frac{m_W^2}{g^2} \right)^2$$

$$\Delta_h = (4m_{\text{DM}}^2 - m_h^2)^{-1}$$

σ_{SI}

$$\sigma_{\text{SI}} = \frac{1}{4\pi} \left(\frac{\kappa_t \hat{r} m_N^2}{m_{\text{DM}} m_h^2} \right)^2 \left(\frac{m_{\text{DM}}}{m_N + m_{\text{DM}}} \right)^2$$

$$\hat{r} \sim 0.3$$